



Les images Sentinel pour la caractérisation des sols

Emmanuelle VAUDOUR

AgroParisTech

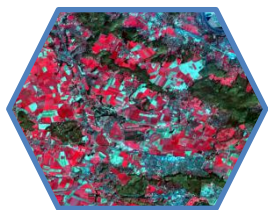
UMR ECOSYS INRA/AgroParisTech, Université Paris-Saclay

emmanuelle.vaudour@agroparistech.fr



Plan

1. Introduction- acquis antérieurs de la télédétection des sols
2. Atouts et utilisations possibles des images Sentinel pour les sols
3. Quelques exemples de travaux récents de caractérisation des sols via Sentinel 2 et/ou 1



Introduction –acquis antérieurs

USA : Condit (1970), Baumgardner (1981), Huete (1991)

Pays-Bas : Epema et Mulders (1987)

Pologne : Cierniewski (1989)

France : Girard (1978), Courault (1989), Jacquemoud (1992), Escadafal (1993), Courault et Girard (1993), Mougenot (1993), Baret et Jacquemoud (1993)

Israël : Ben Dor (1999, 2002, 2009)

Allemagne : Chabrillat (2002)

Brésil: Demattê (2006)

Australie : Viscarra-Rossel (2006)

Belgique : Stevens (2006)

.....

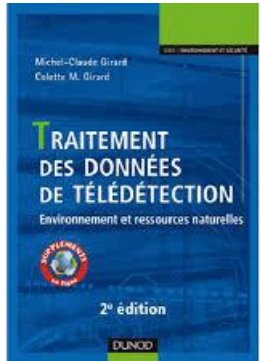
3

Notion d'état de surface du sol

« composition et organisation de la surface du sol à un instant donné » - R. ESCADAFAL, 1989

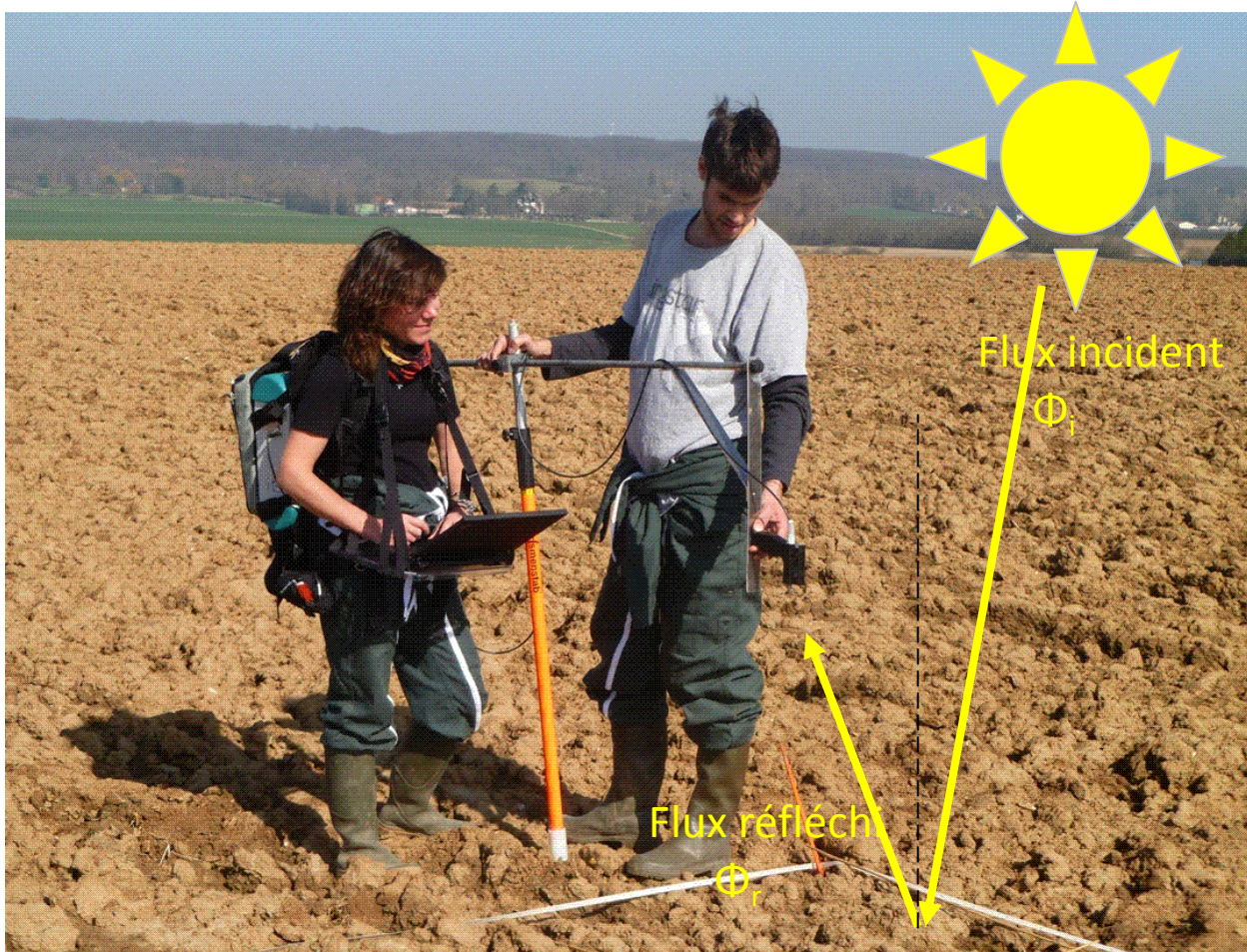


©E. Vaudour – mars 2012



VAUDOUR E., GIRARD MC., 2010, *Pédologie*, chapitre 23. In Girard MC et Girard CM, Traitement des images de télédétection, Dunod, Paris.

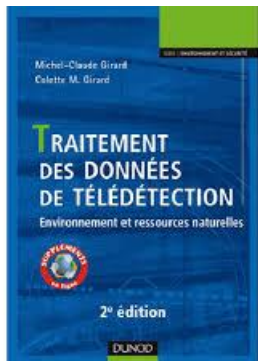
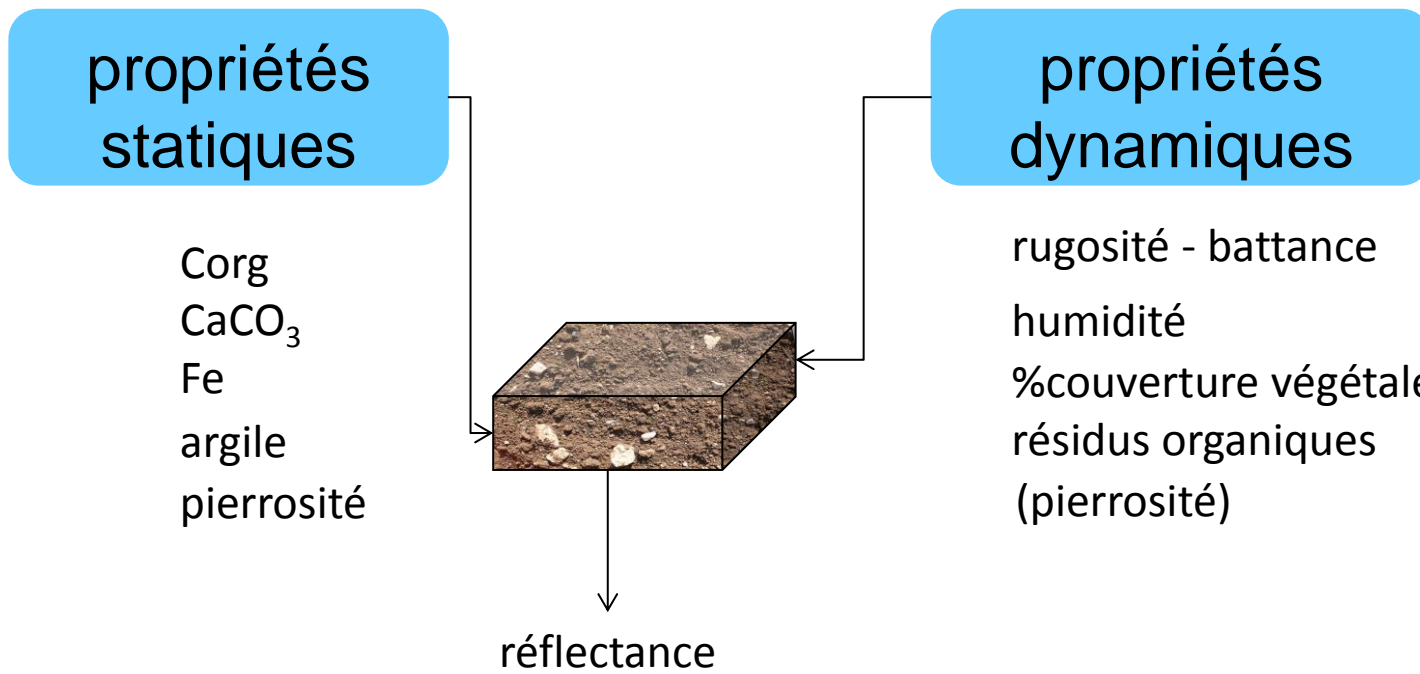
Mesures de réflectance



©UMR EGC-Equipe Sol, cliché E. Vaudour, mars 2012

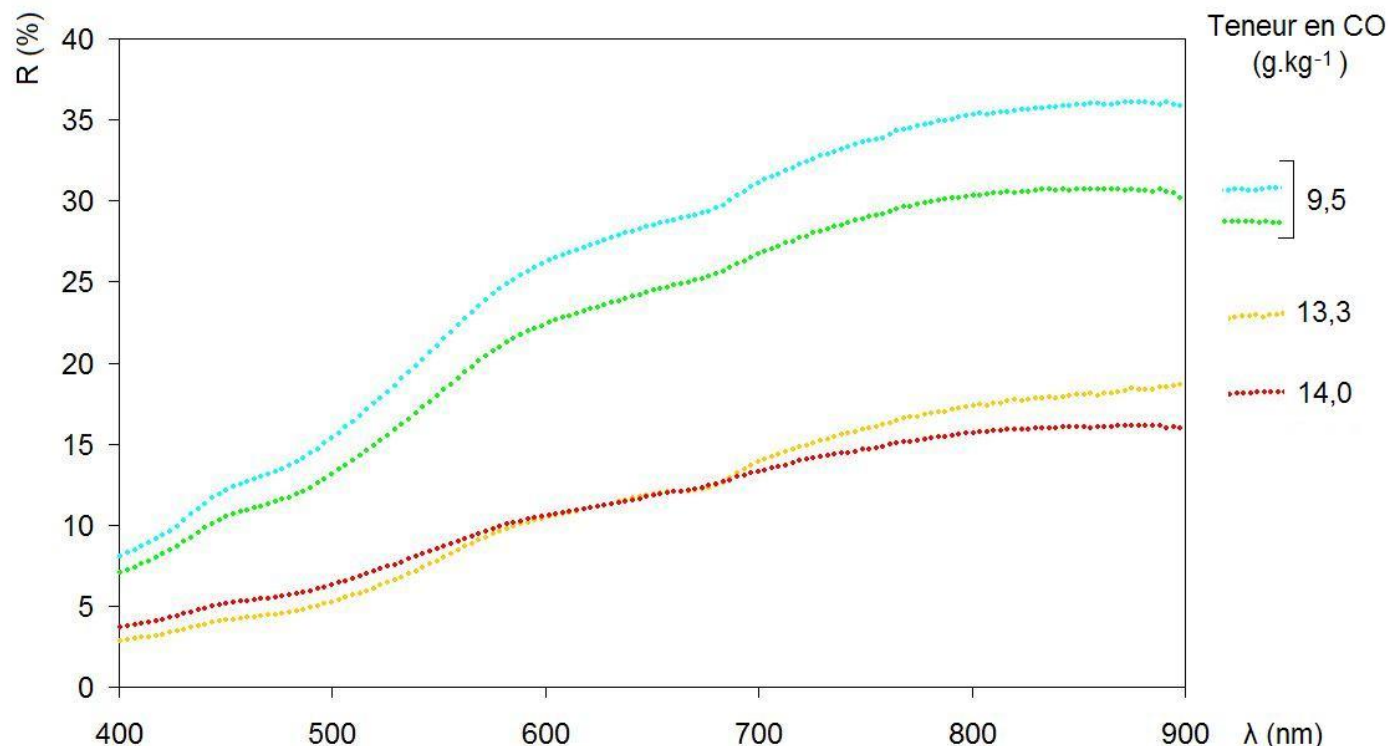
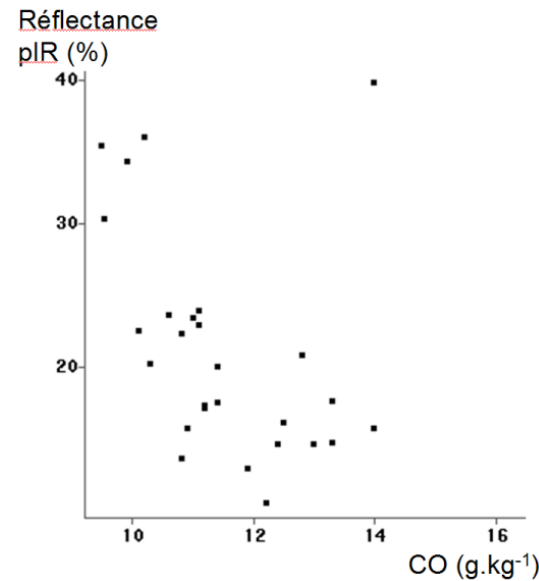
$$R_\lambda = \frac{\Phi_{r\lambda}}{\Phi_{i\lambda}}$$

Principales propriétés influant sur la réflectance du sol nu



VAUDOUR E., GIRARD MC., 2010, *Pédologie*, chapitre 23. In Girard MC et Girard CM, Traitement des images de télédétection, Dunod, Paris.

Example : influence du carbone organique sur la réflectance du sol



Berthier et al., Etude et Gestion des Sols 2008

Caractérisation des sols



directe
(sol nu)

quantitative

mes.
terrain

*modèle
spectral*

propriétés
de sol en
surface

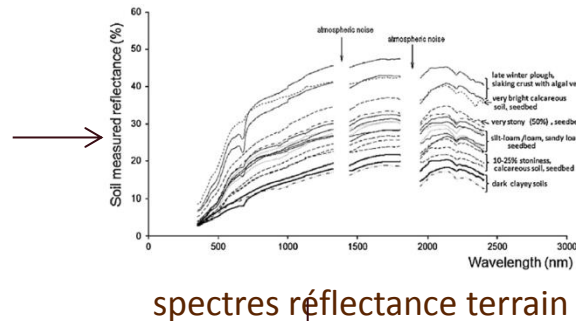
Construction de modèles spectraux



Mesure réflectance terrain
+ prélèvements sols

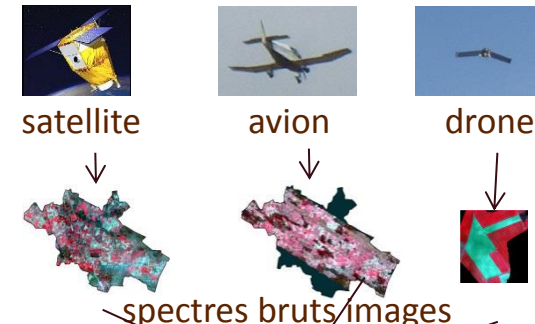


Analyses chimiques

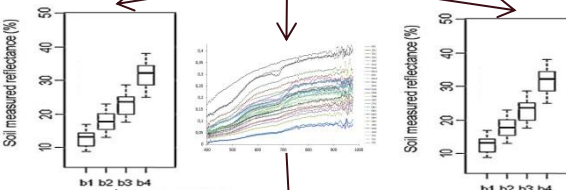


Régression
multiple PLSR

propriété prédictive



(Vaudour et al.,
JAG 2014a)



Régression multiple
PLSR ou MLR

propriété de sol
prédictive

(Vaudour et al., EGU2012, EGU2017; Gilliot et al., 2017; Vaudour et al., 2013, 2016)

Bases de données régionales

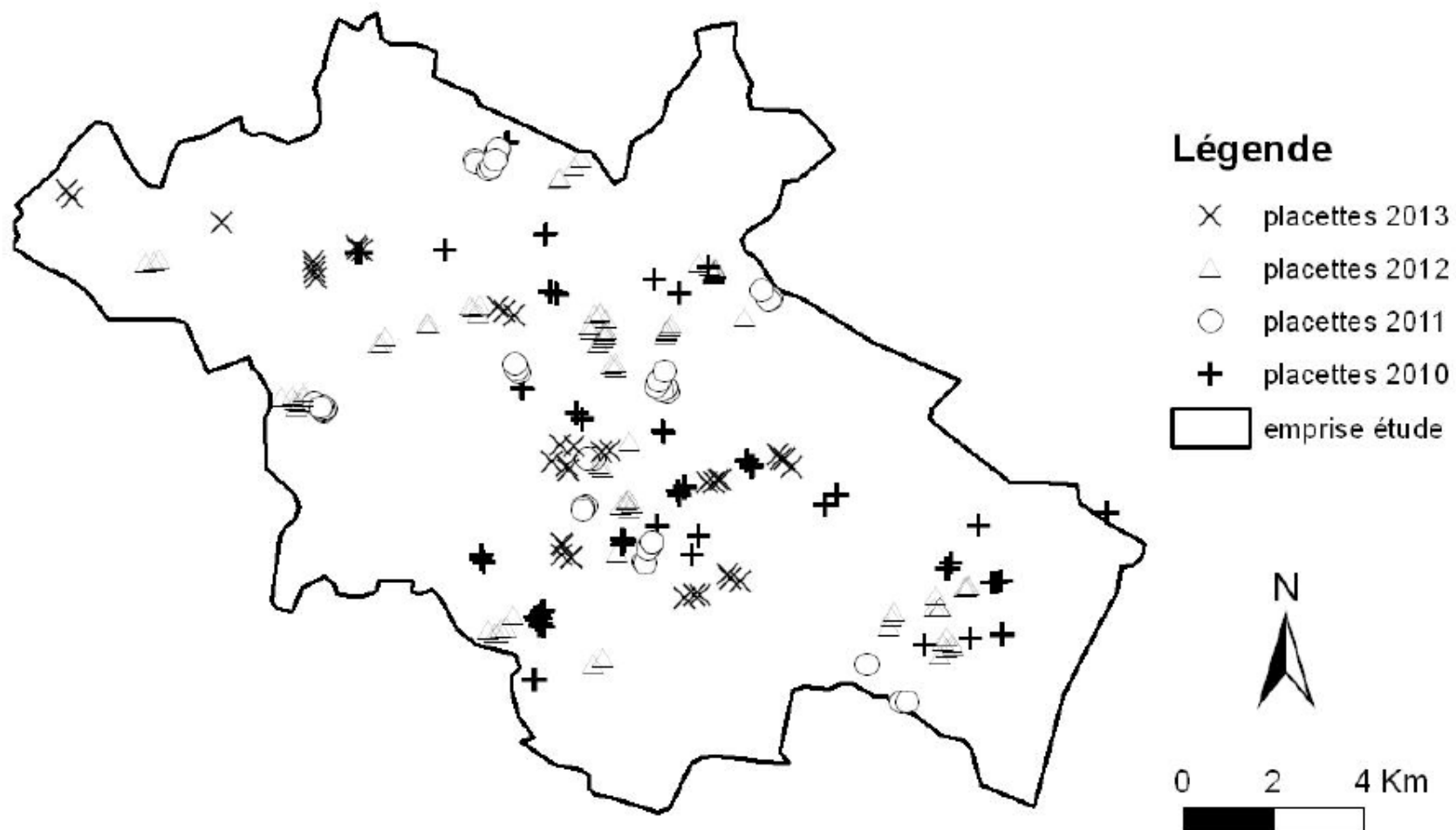


Figure 4. Emplacements des placettes de mesure collectées de 2010 à 2013

In Vaudour (coord) 2014. Rapport final Prostock

10

Exemple : teneurs en Corg des sols de la Plaine de Versailles



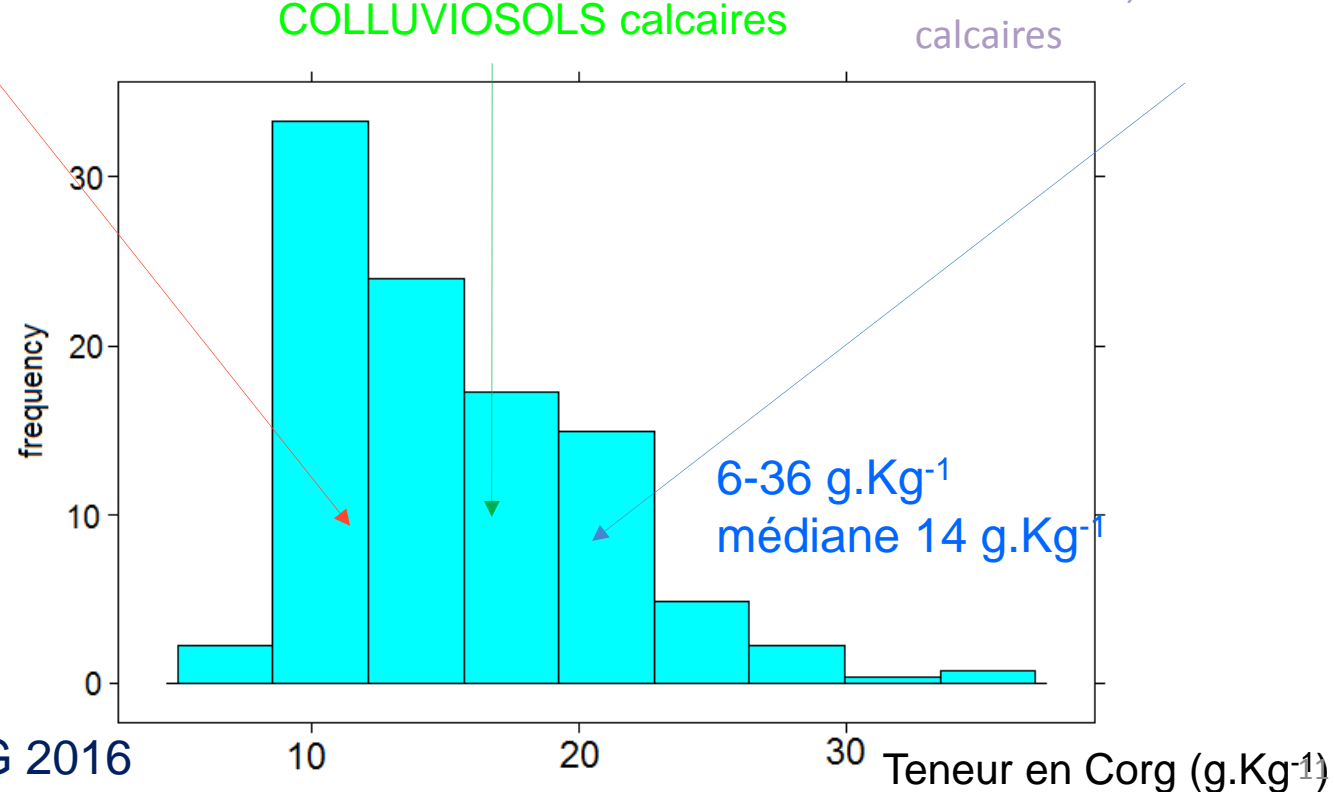
LUVISOLS de loess



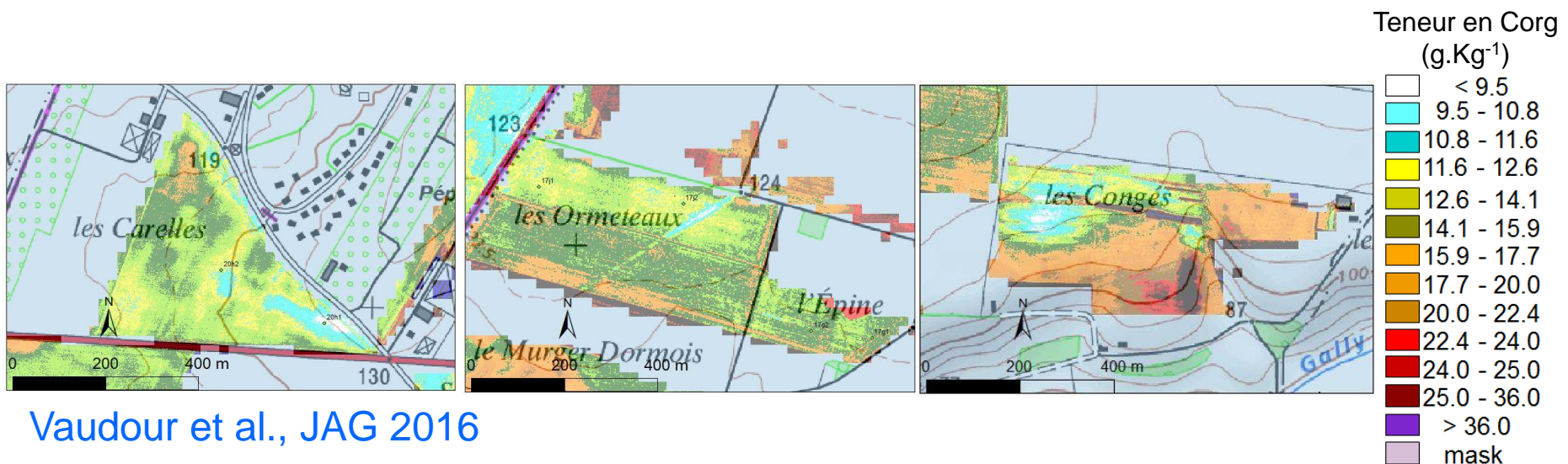
CALCOSOLS,
COLLUVIOSOLS calcaires



FLUVIOSOLS, COLLUVIOSOLS
calcaires
©E. Vaudour

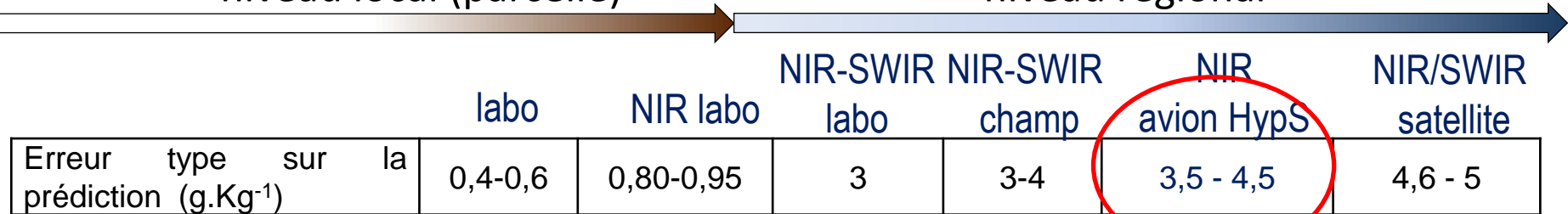


Cartes de Corg des sols issue d'image hyperspectrale AISA-Eagle (400-1000 nm)



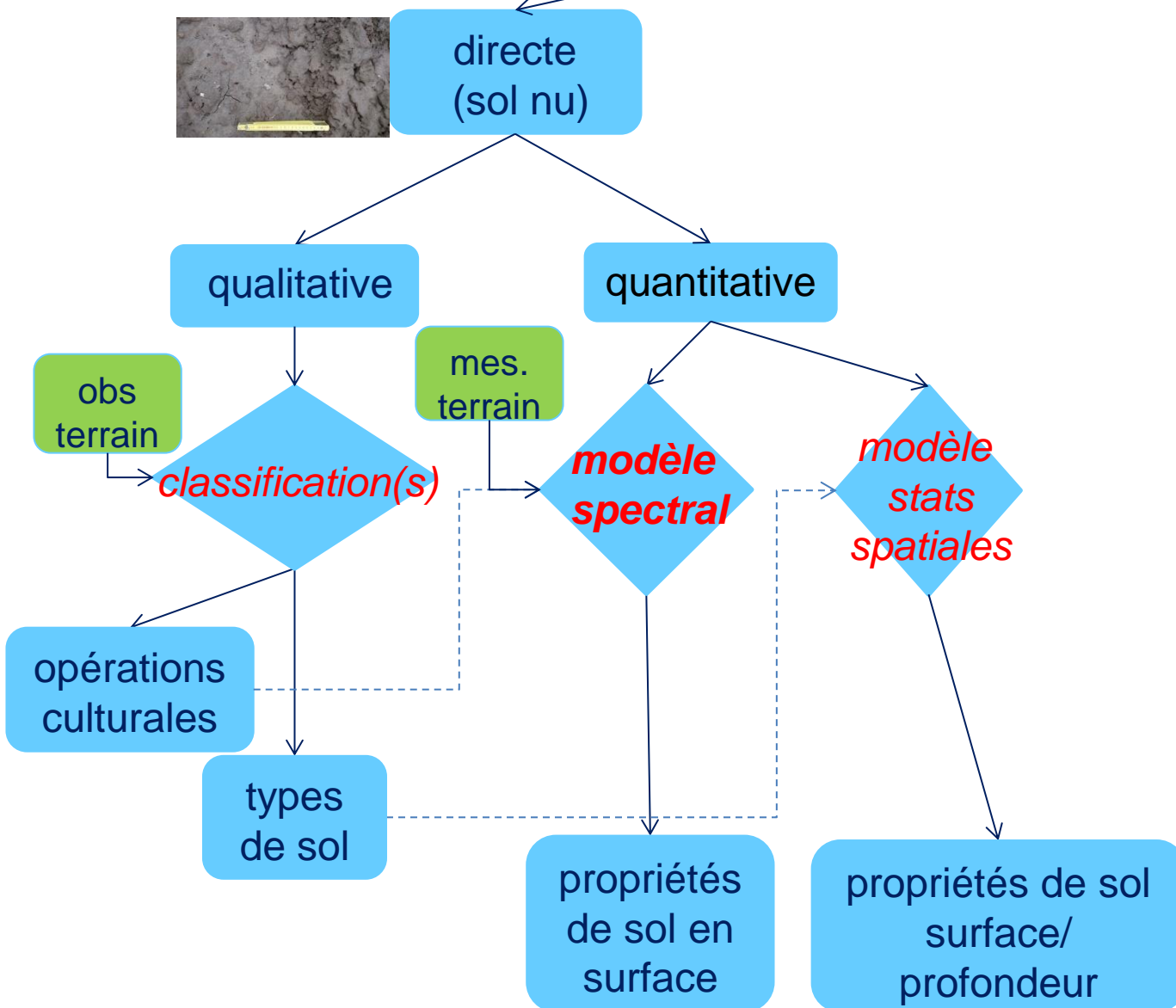
niveau local (parcelle)

niveau régional

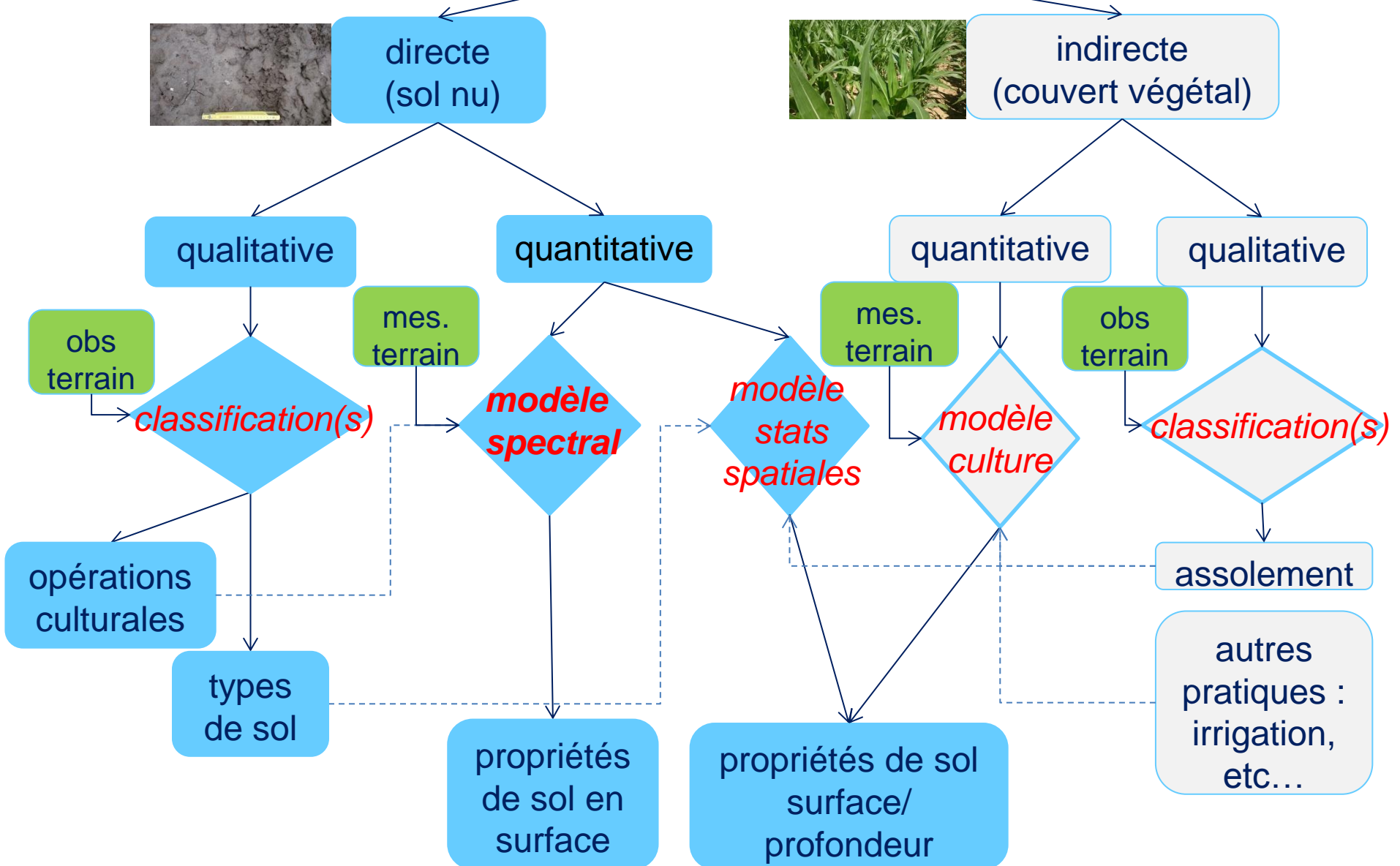


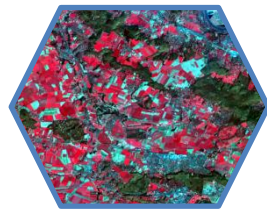
Vaudour et al., SSSAJ 2013
Vaudour et al., JAG 2016

Caractérisation des sols



Caractérisation des sols





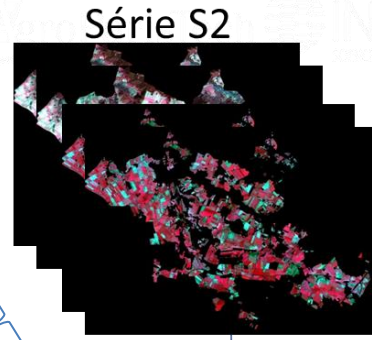
Atouts images sentinel

Atouts images Sentinel

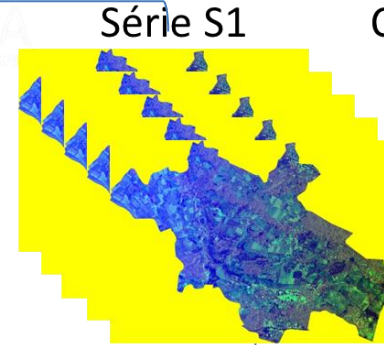
- Richesse spectrale ; bandes absorptions spécifiques sols
- Résolution spatiale

couplage radar/optique

variations
temporelles
états de surface

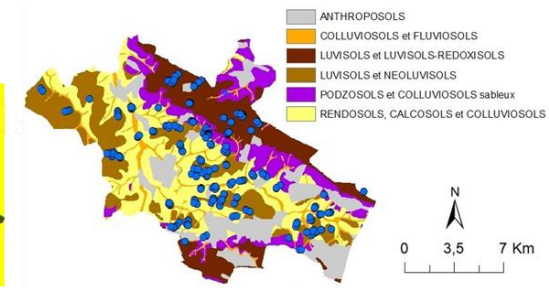


réflectance



(rugosité/humidité)

Carte pédologique/échantillons

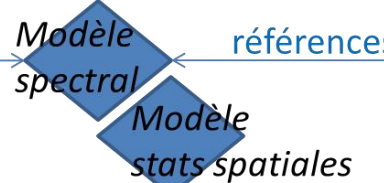
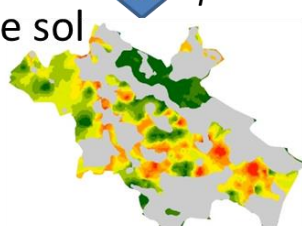


ANTHROPOSOLS
COLLUVIOSOLS et FLUVIOSOLS
LUVISOLS et LUvisols REDOXISOLS
LUVISOLS et NEOLUVISOLS
PODZOSOLS et COLLUVIOSOLS sableux
RENDOSOLS, CALCOSOLS et COLLUVIOSOLS

0 3,5 7 Km
N

↗surface sols nus

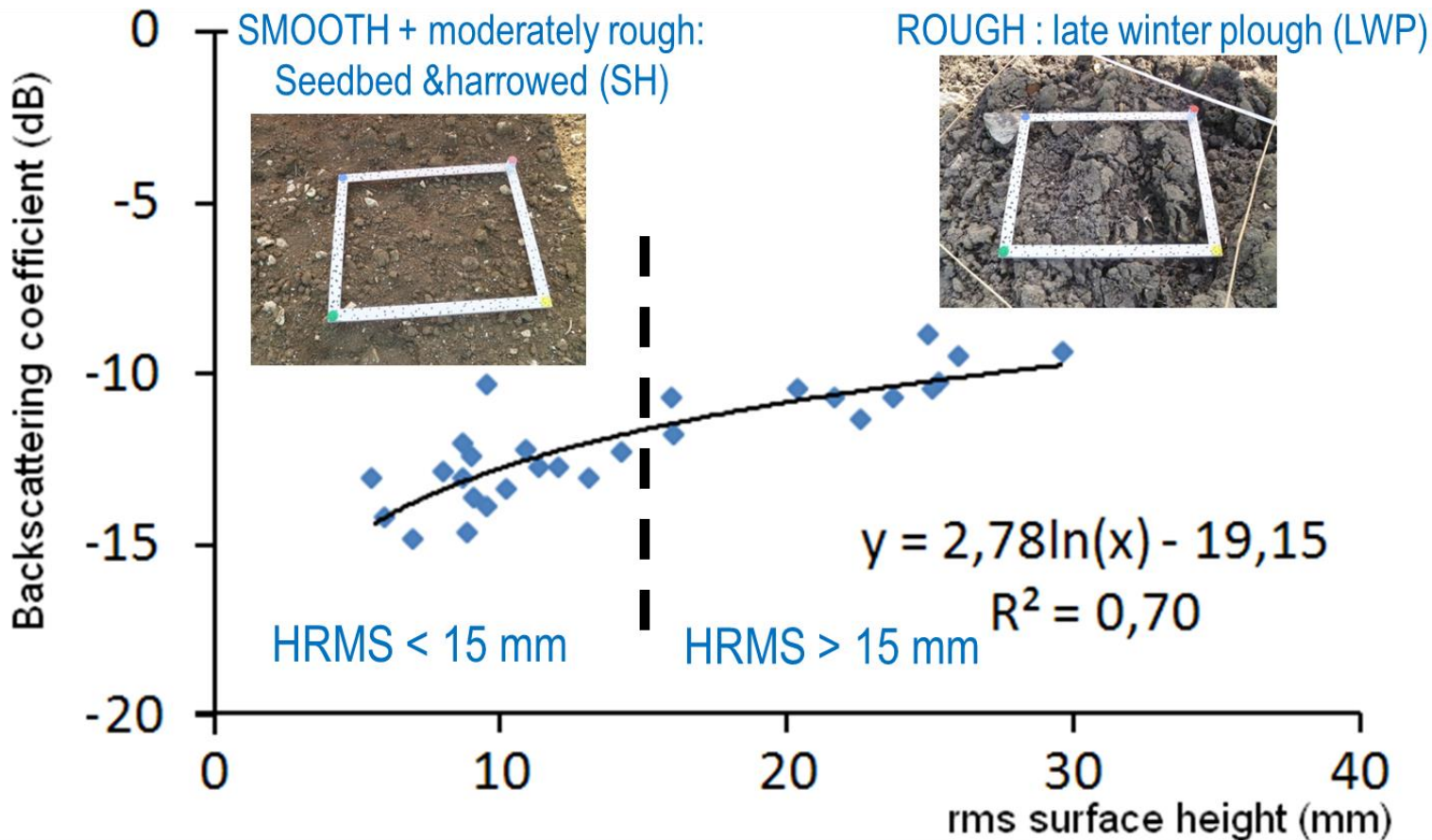
cartes propriétés de sol



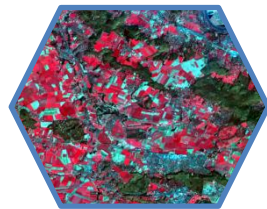
....projets en cours et futurs

Couplage radar/optique pour détection opérations culturales

Vaudour E., Baghdadi N. Gilliot J.M., JAG 2014



▲ *Dependance of radar signal in C-band (~5.6 GHz) with the surface roughness in HH polarization*



Estimation de propriétés de sol via Sentinel



CENTRE NATIONAL D'ÉTUDES SPATIALES



PLEIADES-CO program
DSM program



Propriétés de sol de surface via S2

Vaudour et al. EGU 2017

Vaudour E., Gomez, C., Fouad, Y., Lagacherie, P., soumis

Plaine de Versailles (78)

année d'analyse

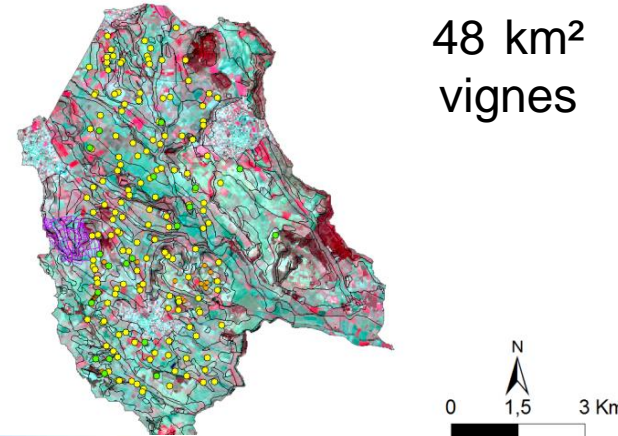


luvisols de loess

72 sites sur sols nus

Vallée de la Peyne (34)

48 km²
vignes



*calcosols de molasse
fersialsols éluviques*

143 sites sur sol nus

Modélisation: PLSR cross-validation leave-one-out – 10 bandes spectrales

Synthèse des performances de prédiction avec S2 (1 date – mars 2016)

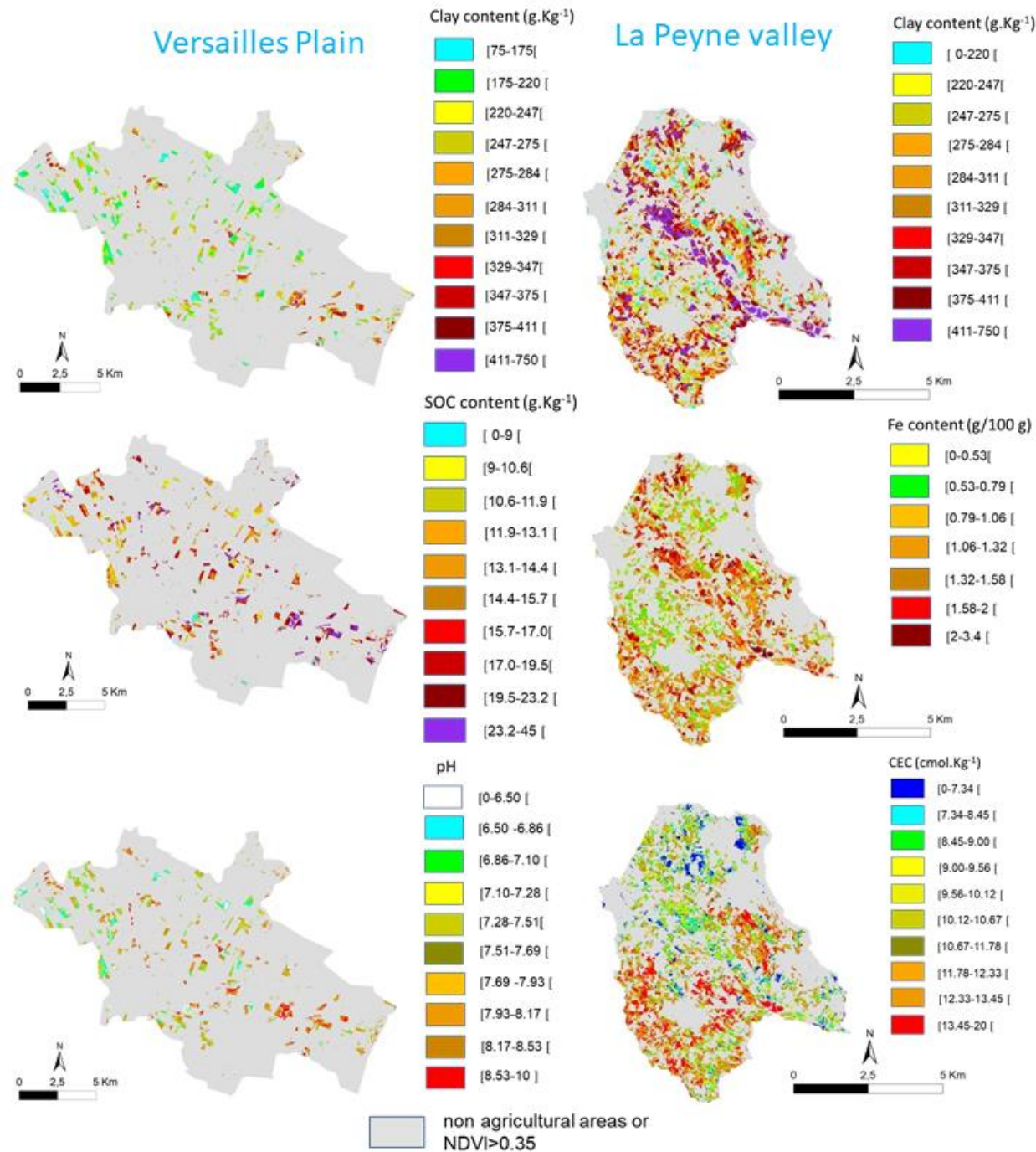
Vaudour et al. EGU 2017

Vaudour E., Gomez, C., Fouad, Y., Lagacherie, P., soumis

Groupe de performance	R_{cv}^2	RPD_{cv}	Propriété de sol Versailles	Propriété de sol La Payne
i) intermédiaire à élevée	$\geq 0,5$	$\geq 1,4$	Corg, pH, CEC, $CaCO_3$	
ii) quasi-intermédiaire	0,4	1,3	Argile	Argile, Fe, CEC
iii) médiocre	< 0,4	~1	Limon, Sable	Limon, Sable, Corg, pH, $CaCO_3$

Cartes des propriétés de sols

Vaudour et al. EGU 2017
 Vaudour E., Gomez, C., Fouad,
 Y., Lagacherie, P., soumis



Performances de prédiction pour Corg avec S2 (4 dates – printemps 2017)

Ebengo et al. EGU 2018

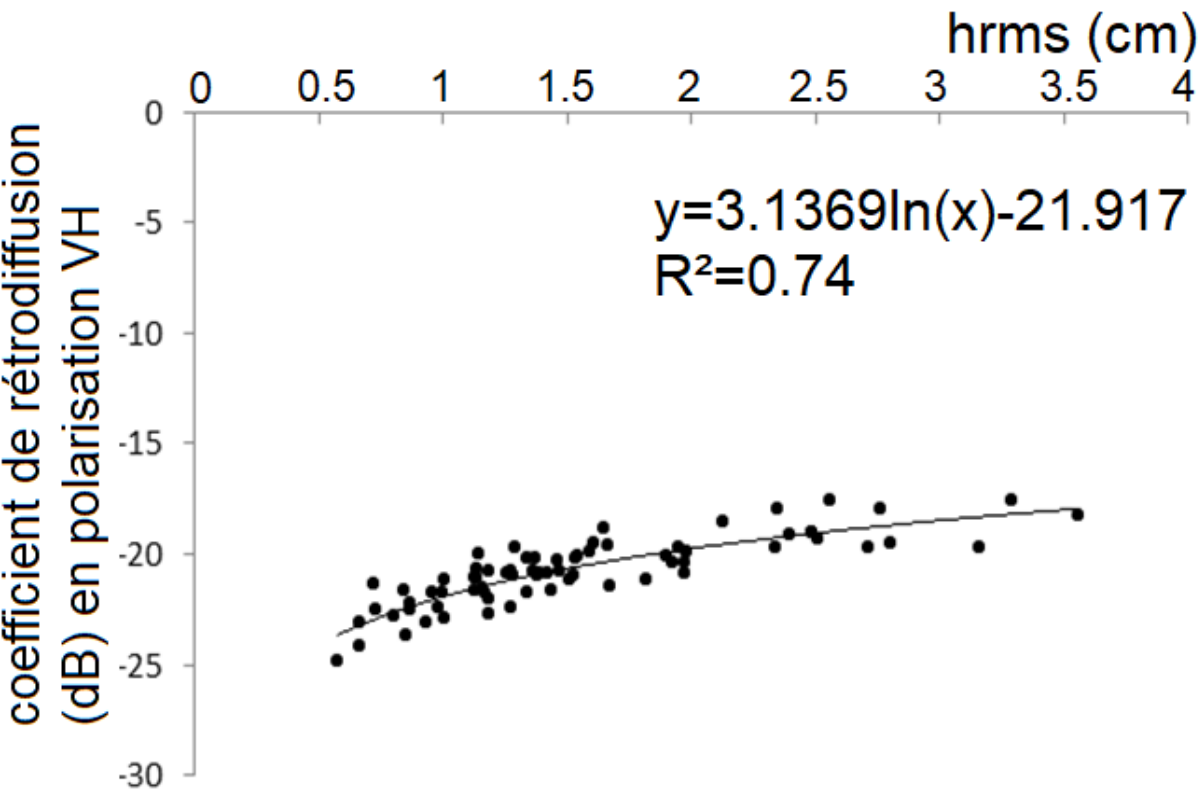
Ebengo, D.M., Vaudour, E., Gilliot J.M., Hadjar, D., Baghdadi, N., en préparation

modèle PLSR	nb échantillons	erreur RMSE _{cv} (g.Kg ⁻¹)	R ² _{cv}	RPD _{cv}	Groupe de performance
27 mars	123	3,88	0,31	1,2	médiocre
30 mars	123	3,97	0,28	1,18	médiocre
09 avril	122	3,16	0,55	1,5	intermédiaire à élevée
19 avril	122	3,35	0,48	1,4	quasi-intermédiaire

Contribution de S1 pour estimer la rugosité (4 dates – printemps 2017)

Ebengo et al. EGU 2018

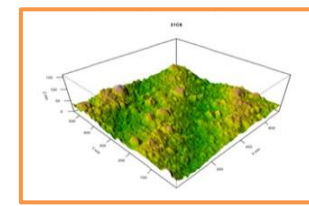
Ebengo, D.M., Vaudour, E., Gilliot J.M., Hadjar, D., Baghdadi, N., en préparation



Rugosité terrain



Méthode photogrammétrique
Gilliot et al 2017



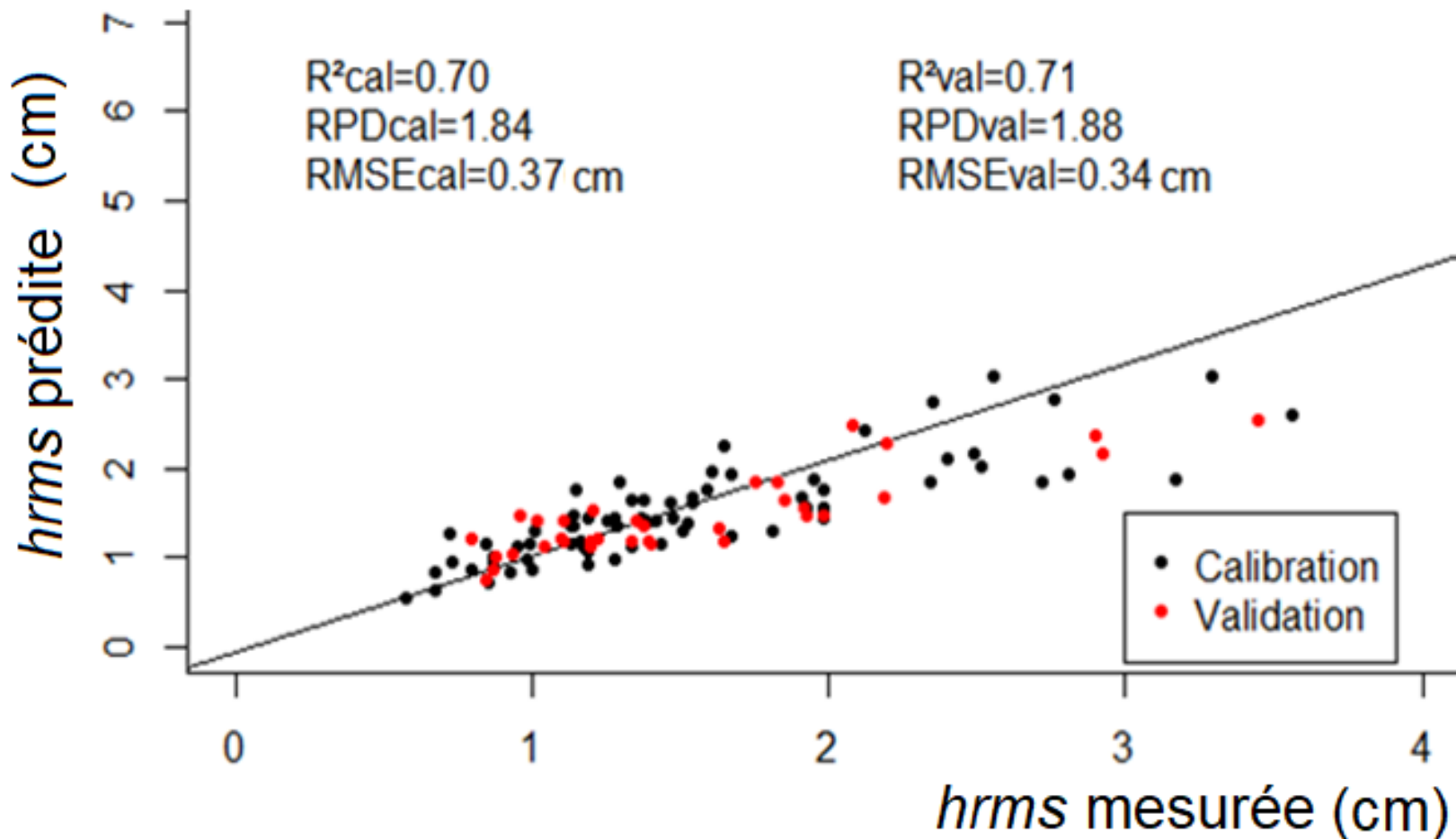
Modèle 3D de surface

↓
 $hrms$

Contribution de S1 pour estimer la rugosité (4 dates – printemps 2017)

Ebengo et al. EGU 2018

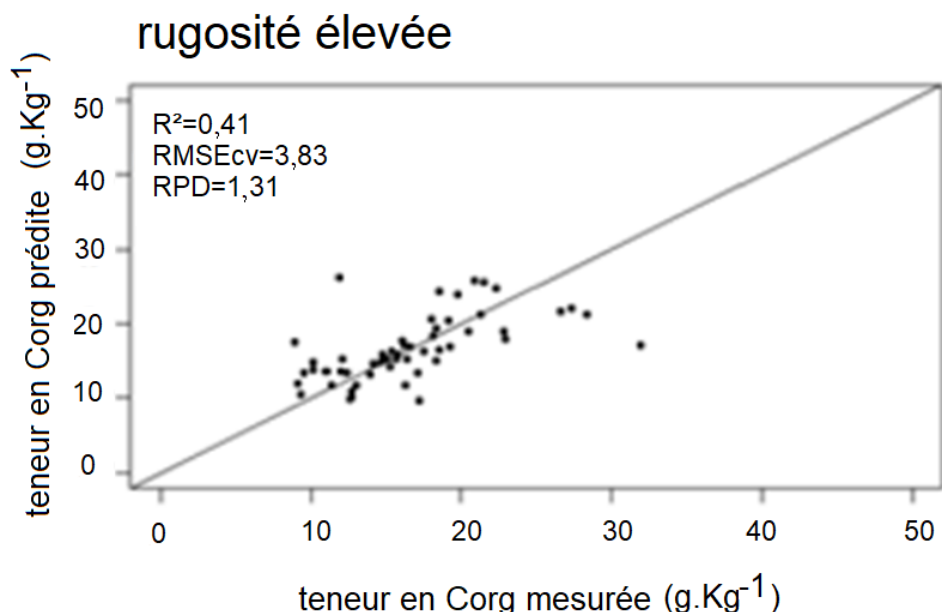
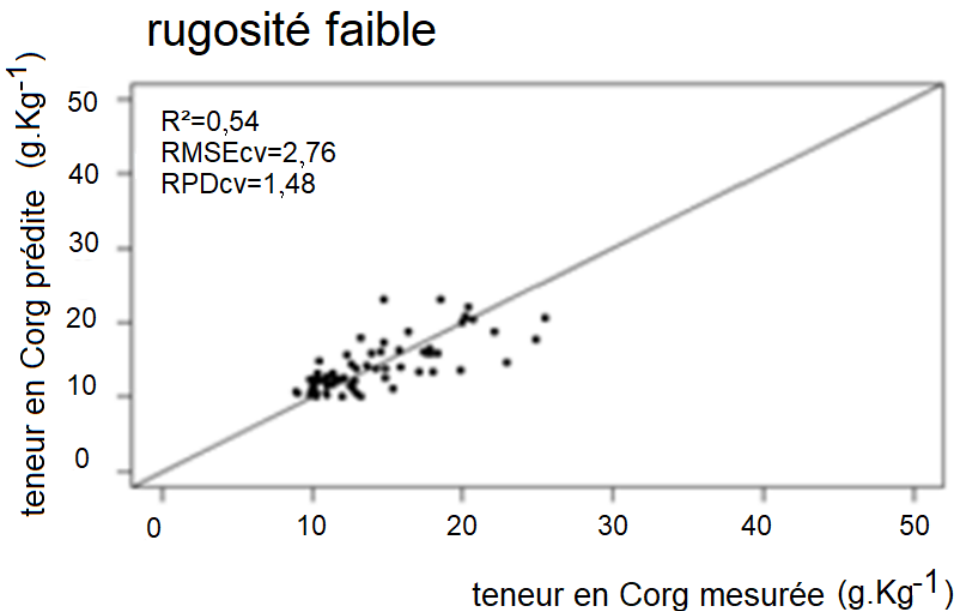
Ebengo, D.M., Vaudour, E., Gilliot J.M., Hadjar, D., Baghdadi, N., en préparation



Prédiction via S2 de Corg en fonction de classes de rugosité (printemps 2017)

Ebengo et al. EGU 2018

Ebengo, D.M., Vaudour, E., Gilliot J.M., Hadjar, D., Baghdadi, N., en préparation



performance
intermédiaire à élevée

performance
quasi-intermédiaire

Conclusion- perspectives

- Performances encourageantes
- Travaux en cours – nouveaux projets
- Multidates – mosaïquage - complémentarité S1/S2 pour facteurs perturbants
- Intégration données Sentinel dans démarche de cartographie numérique des sols



Vaudour E., 2017 - <https://imaggeo.egu.eu/view/12252>

emmanuelle.vaudour@agroparistech.fr

Sélection d'articles

Baghdadi, N., El Hajj, M., Choker, M., Zribi, M., Bazzi, H., Vaudour, E., Gilliot, J.M., Ebengo D.M., 2018. Potential of Sentinel-1 images for estimating the soil roughness over bare agricultural soils. *Water*, 10, 131; doi:10.3390/w10020131.

Ebengo, D.M., Vaudour, E., Gilliot, J.-M., Hadjar, D., Baghdadi, N., 2018. Potential of combined Sentinel 1/ Sentinel 2 images for mapping topsoil organic carbon content over cropland taking into account soil roughness. *Geophysical Research Abstracts, Geophysical Research Abstracts*, Vol. 20, EGU2018-14368, EGU General Assembly 2018, Vienna (Austria). (poster)

Gilliot, J.M., Vaudour, E., Michelin, J., 2017. Soil surface roughness measurement: A new fully automatic photogrammetric approach applied to agricultural bare fields. *Computers and Electronics in Agriculture* 134, 63–78. <https://doi.org/10.1016/j.compag.2017.01.010>

Vaudour, E., Baghdadi, N., Gilliot, J.M., 2014a. Mapping tillage operations over a peri-urban region using combined SPOT4 and ASAR/ENVISAT images. *International Journal of Applied Earth Observation and Geoinformation* 28, 43–59. <https://doi.org/10.1016/j.jag.2013.11.005>

Vaudour, E., Bel, L., Gilliot, J.M., Coquet, Y., Hadjar, D., Cambier, P., Michelin, J., Houot, S., 2013. Potential of SPOT Multispectral Satellite Images for Mapping Topsoil Organic Carbon Content over Peri-Urban Croplands. *Soil Science Society of America Journal* 77, 2122. <https://doi.org/10.2136/sssaj2013.02.0062>

Vaudour, E., Gilliot, J.M., Bel, L., Bréchet, L., Hamiache, J., Hadjar, D., Lemonnier, Y., 2014b. Uncertainty of soil reflectance retrieval from SPOT and RapidEye multispectral satellite images using a per-pixel bootstrapped empirical line atmospheric correction over an agricultural region. *International Journal of Applied Earth Observation and Geoinformation* 26, 217–234. <https://doi.org/10.1016/j.jag.2013.07.003>

Vaudour, E., Gilliot, J.M., Bel, L., Lefevre, J., Chehdi, K., 2016. Regional prediction of soil organic carbon content over temperate croplands using visible near-infrared airborne hyperspectral imagery and synchronous field spectra. *International Journal of Applied Earth Observation and Geoinformation* 49, 24–38. <https://doi.org/10.1016/j.jag.2016.01.005>

Vaudour, E., Gomez, C., Fouad, Y., Gilliot, J.M., Lagacherie, P., 2017. Potential of SENTINEL-2 images for predicting common topsoil properties over Temperate and Mediterranean agroecosystems. *Geophysical Research Abstracts*, vol. 19, EGU2017-6242, EGU General Assembly 2017, Vienna (Austria). (poster)